

**ANÁLISIS COMPARATIVO DE LA ACTIVIDAD ANTIMICROBIANA DE  
SECRECIONES Y EXCRECIONES LARVALES DE *Calliphora vicina* Y  
*Sarconesiopsis magellanica* (DIPTERA: CALLIPHORIDAE)**

**Presentado por:**

Francy Julieth Novoa Palomares  
Laura Daniela Salas Díaz



**Asesora interna:**

Ingred Pinillos Medina. D.M.V

**Asesor externo:**

Felio Jesús Bello García. MSc., PhD

**Universidad Colegio Mayor de Cundinamarca  
Facultad Ciencias de la Salud  
Programa de Bacteriología y Laboratorio Clínico  
Bogotá D.C.**

# Introducción

Familia  
Calliphoridae

*Calliphora vicina*



*Sarconesiopsis magellanica*



<i>C. vicina</i>	<i>S. magellanica</i>
Casanare	Antioquia
Tolima	Boyaca
Santander	Norte de Santander
Caldas	Cundinamarca
Valle del cauca	
Meta	
Cundinamarca	

Pape et al 2004  
López-Cepeda et al 2015.  
Kosmann et al 2015  
Aak A, et al 2011.





**Miasis**



**Vector**



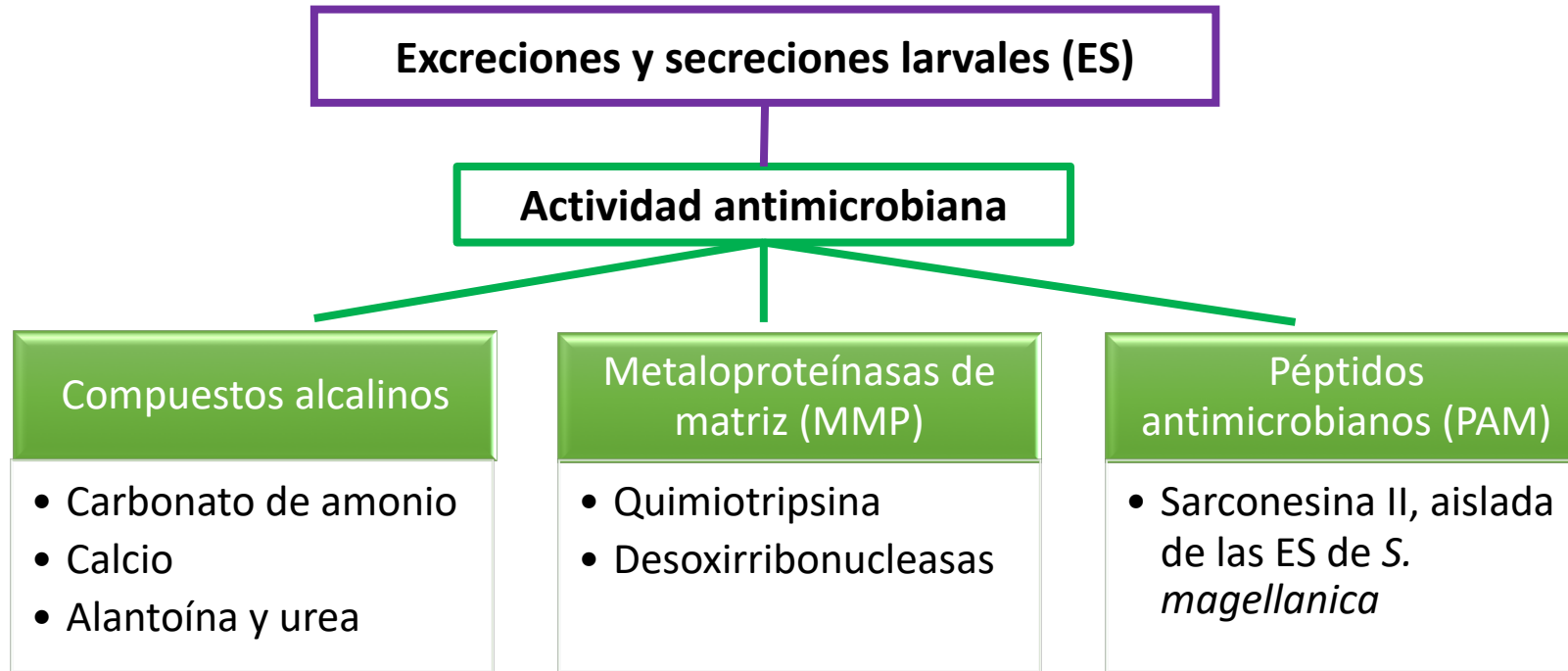
**Intervalo post  
- mortem**



**Terapia larval**

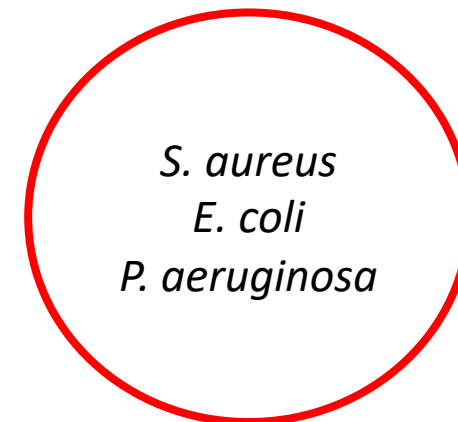
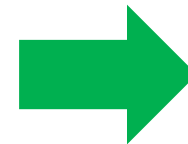
Camacho et al 2005  
Amat E. 2009.  
Góngora et al 2015;  
Fischer et al . 2004.  
Getachew et al . 2007.  
Sharma et al. 2014.  
Sherman et al . 2003, 2009

1. Desbridamiento
2. Desinfección y erradicación de biopelículas
3. Estimulación del tejido de granulación



### ES larvales

- *Lucilia serica*
- *Calliphora vicina*
- *Sarconesiopsis magellanica*
- *Chrysomya putoria*
- *Chrysomya megacephla*





ELSEVIER

Contents lists available at [ScienceDirect](https://www.sciencedirect.com)

Acta Tropica

journal homepage: [www.elsevier.com/locate/actatropica](http://www.elsevier.com/locate/actatropica)



## *Sarconesiopsis magellanica* (Diptera: Calliphoridae) excretions and secretions have potent antibacterial activity

Andrea Díaz-Roa<sup>a</sup>, María A. Gaona<sup>b</sup>, Nydia A. Segura<sup>a</sup>, Diana Suárez<sup>c</sup>,  
Manuel A. Patarroyo<sup>c,d</sup>, Felio J. Bello<sup>a,\*</sup>

<sup>a</sup> Medical and Forensic Entomology Research Group, School of Medicine and Health Sciences, Universidad del Rosario, Colombia

<sup>b</sup> Microbiology Laboratory, Faculty of Natural and Mathematical Sciences, Universidad del Rosario, Colombia

<sup>c</sup> Molecular Biology and Immunology Department, Fundación Instituto de Inmunología de Colombia, Colombia

<sup>d</sup> Basic Sciences Department, School of Medicine and Health Sciences, Universidad del Rosario, Colombia



ELSEVIER

Contents lists available at [ScienceDirect](https://www.sciencedirect.com)

Acta Tropica

journal homepage: [www.elsevier.com/locate/actatropica](http://www.elsevier.com/locate/actatropica)



## The effect of *Lucilia sericata*- and *Sarconesiopsis magellanica*-derived larval therapy on *Leishmania panamensis*

Lissa Cruz-Saavedra<sup>a</sup>, Andrea Díaz-Roa<sup>a</sup>, María A. Gaona<sup>b</sup>, Mónica L. Cruz<sup>a</sup>,  
Martha Ayala<sup>c</sup>, Jesús A. Cortés-Vecino<sup>d</sup>, Manuel A. Patarroyo<sup>e,f</sup>, Felio J. Bello<sup>a,g,\*</sup>

<sup>a</sup> Medical and Forensic Entomology Research Group, School of Medicine and Health Sciences, Universidad del Rosario, Bogotá, Colombia

<sup>b</sup> Microbiological Research Group—UR (GIMUR), Faculty of Natural and Mathematical Sciences, Universidad del Rosario, Bogotá, Colombia

<sup>c</sup> Parasitology Laboratory, Instituto Nacional de Salud (INS), Bogotá, Colombia

<sup>d</sup> Veterinary Medicine and Zootech Faculty, Universidad Nacional de Colombia, Bogotá, Colombia

<sup>e</sup> Molecular Biology and Immunology Department, Fundación Instituto de Inmunología de Colombia, Bogotá, Colombia

<sup>f</sup> Basic Sciences Department, School of Medicine and Health Sciences, Universidad del Rosario, Bogotá, Colombia

<sup>g</sup> Faculty of Medicine, Universidad Antonio Nariño, Bogotá, Colombia



ELSEVIER

Contents lists available at [ScienceDirect](https://www.sciencedirect.com)

Acta Tropica

journal homepage: [www.elsevier.com/locate/actatropica](http://www.elsevier.com/locate/actatropica)



## Evaluating the anti-leishmania activity of *Lucilia sericata* and *Sarconesiopsis magellanica* blowfly larval excretions/secretions in an *in vitro* model

Mayra Juliana Laverde-Paz<sup>a,b</sup>, María Clara Echeverry<sup>b</sup>, Manuel Alfonso Patarroyo<sup>c,d</sup>,  
Felio Jesús Bello<sup>a,e,f,\*</sup>

<sup>a</sup> Medical and Forensic Entomology Research Group, School of Medicine and Health Sciences, Universidad del Rosario, Bogotá DC, Colombia

<sup>b</sup> Public Health Department, Medicine Faculty, Universidad Nacional de Colombia, Bogotá DC, Colombia

<sup>c</sup> Molecular Biology and Immunology Department, Fundación Instituto de Inmunología de Colombia (FIDIC), Bogotá DC, Colombia

<sup>d</sup> Basic Sciences Department, School of Medicine and Health Sciences, Universidad del Rosario, Bogotá DC, Colombia

<sup>e</sup> Medicine Faculty, Universidad Antonio Nariño, Bogotá DC, Colombia

<sup>f</sup> Faculty of Agricultural and Livestock Sciences, Universidad de La Salle, Bogotá DC, Colombia





# Sarconesin: *Sarconesiopsis magellanica* Blowfly Larval Excretions and Secretions With Antibacterial Properties






Andrea Díaz-Roa<sup>1,2,3</sup>, Manuel A. Patarroyo<sup>4,5</sup>, Felio J. Bello<sup>6,7</sup> and Pedro I. Da Silva Jr.<sup>1,3\*</sup>

<sup>1</sup> Laboratório Especial de Toxinologia Aplicada, Instituto Butantan, São Paulo, Brazil, <sup>2</sup> PhD Programme in Biomedical and Biological Sciences, Universidad del Rosario, Bogotá, Colombia, <sup>3</sup> Biomedical Sciences Institute, Universidade de São Paulo, São Paulo, Brazil, <sup>4</sup> Molecular Biology and Immunology Department, Fundación Instituto de Inmunología de Colombia, Bogotá, Colombia, <sup>5</sup> Basic Sciences Department, School of Medicine and Health Sciences, Universidad del Rosario, Bogotá, Colombia, <sup>6</sup> Faculty of Agricultural and Livestock Sciences, Program of Veterinary Medicine, Universidad de La Salle, Bogotá, Colombia, <sup>7</sup> Medicine Faculty, Universidad Antonio Nariño, Bogotá, Colombia



Article

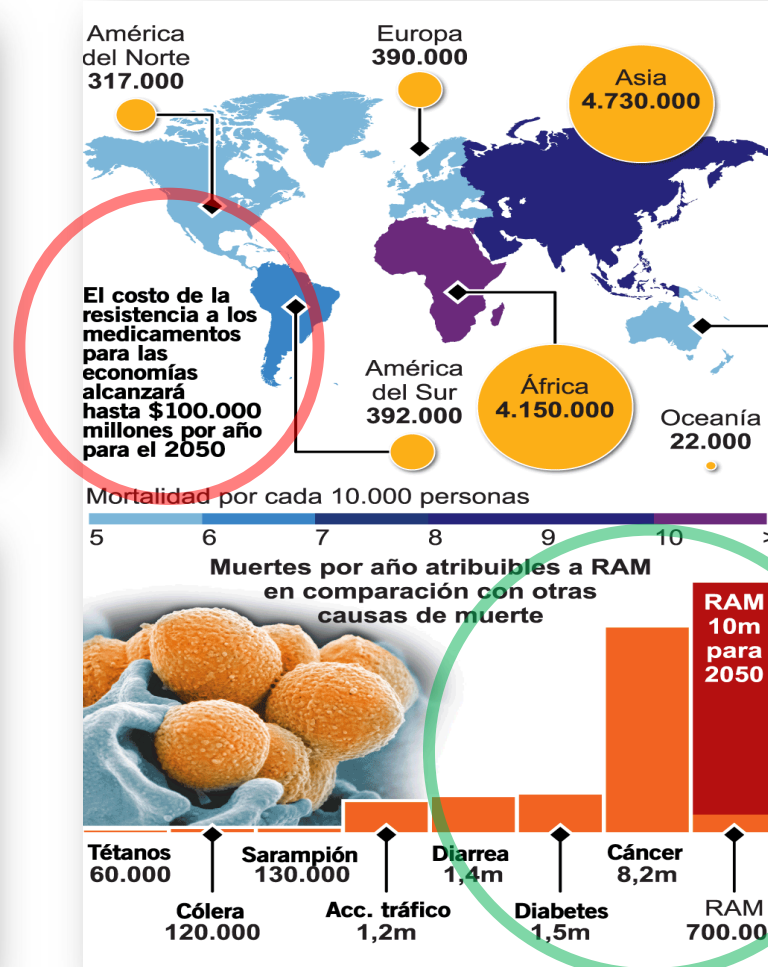
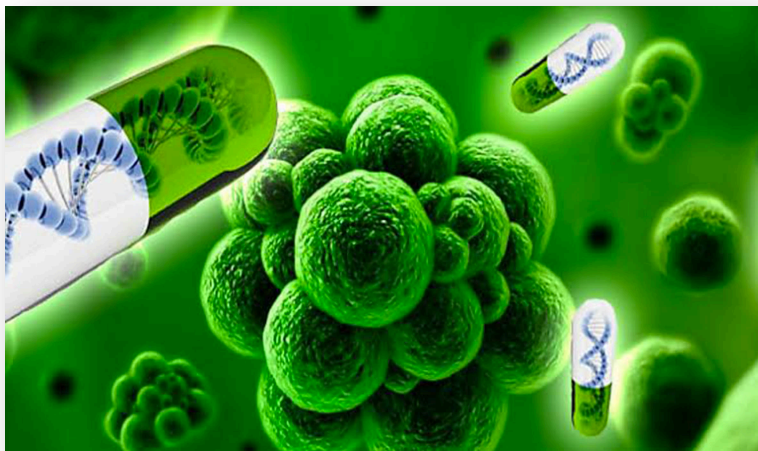
## Sarconesin II, a New Antimicrobial Peptide Isolated from *Sarconesiopsis magellanica* Excretions and Secretions

Andrea Díaz-Roa<sup>1,2,3</sup> , Abraham Espinoza-Culupú<sup>2,4</sup>, Orlando Torres-García<sup>5</sup>, Monamaris M. Borges<sup>4</sup>, Ivan N. Avino<sup>6</sup>, Flávio L. Alves<sup>7</sup> , Antonio Miranda<sup>7</sup>, Manuel A. Patarroyo<sup>8,9</sup> , Pedro I. da Silva Jr.<sup>1,2,\*</sup>  and Felio J. Bello<sup>10,\*</sup> 



# Problema

¿Cuál es la actividad antimicrobiana más efectiva al comparar las ES larvales de *C. vicina* y *S. magellanica*?



## ES larvales





## Objetivo

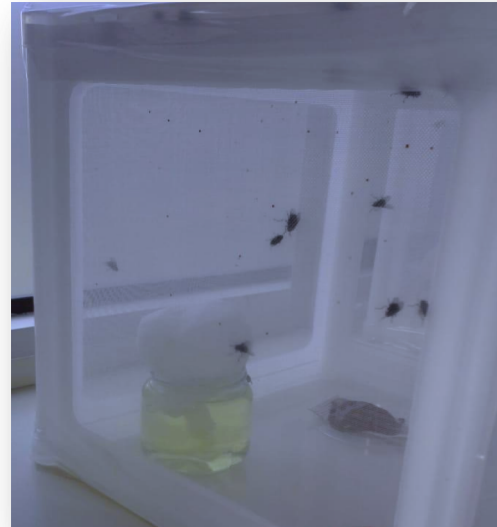
- Comparar la actividad antimicrobiana de las ES larvales, ES<10 kDa y las ES>10 kDa, derivadas de *Calliphora vicina* y *Sarconesiopsis magellanica*.



- Materiales y métodos
- **Resultados**
- **Discusión**



# Colonización y mantenimiento de la colonia



Colecta de  
especímenes adultos:  
**Resolución 0922 del  
15 de mayo de 2017**

Temperatura 25°C,  
Humedad relativa 60%  
Foto periodo 12:12

Huevos  
ovipositados de las  
especies evaluadas

El desarrollo de larvas  
de tercer estadio  
ocurrió en un tiempo  
aproximado de 4 días  
después de la  
oviposición.

# Obtención de excreciones y secreciones



Larvas de tercer estadio  
3000 larvas

Hipoclorito al 0.5%



Formaldehído al 5 %



Agua destilada  
estéril



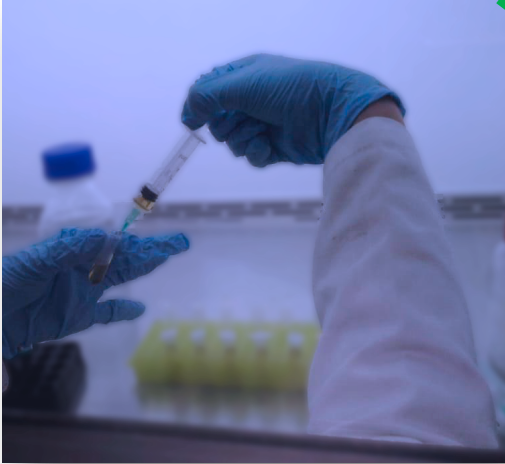
Incubación

1 hora a  
37°C

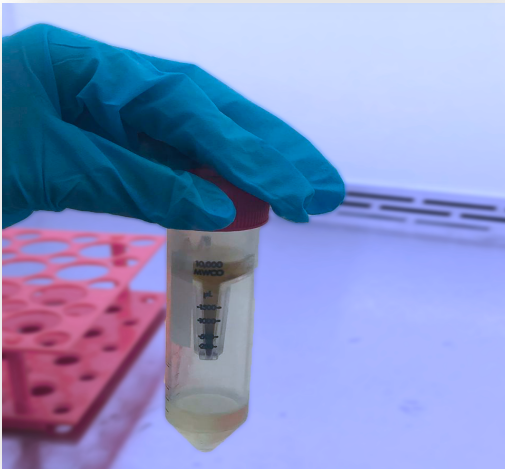
Centrifugación

13000g  
4°C  
10min

# Filtración de ESn



*C. vicina* y *S. magellanica*:  
10mL de ESn



## Centrifugación

4200 g,  
4°C,  
10 min,

# Cuantificación de proteínas



Espectrofotometría  
Ultravioleta – visible  
(UV/VIS) a 280nm

## Análisis estadístico

- ANOVA de una sola vía, más test de Bonferroni.
- T- student

**\*Diferencias significativas  $p < 0.05$**



# Obtención de ES


Parámetro	ESPECIE	
	<i>C. vicina</i>	<i>S. magellanica</i>
Nº de larvas	3000	
Peso	134,4 g	
Volumen total de <b>ESn</b>	15 mL	
Concentración de proteínas de <b>ESn</b>	6.764 µg/mL	4.674 µg/mL
Volumen de <b>ES &lt; 10kDa</b>	6 mL	
Concentración de proteínas <b>ES &lt; 10kDa</b>	4.561 µg/mL	3.050 µg/mL
Volumen de <b>ES &gt; 10kDa</b>	4 mL	
Concentración de proteínas <b>&gt; 10kDa</b>	6.867 µg/mL	4.712 µg/mL

# Ensayo de turbidimetría

	1	2	3	4	5	6	7	8
A	●	●	●	●	●	●	●	
B	●	●	●	●	●	●	●	
C	●	●	●	●	●	●	●	
D	●	●	●	●	●	●	●	
E	●	●		●	●	●	●	
F	●	●		●	●	●	●	
G	●	●		●	●	●	●	
H	●	●	●	●	●	●	●	

● Agua 100μL

● Medio LB 100μL

● Medio + bacteria 100μL 

● Antibiótico 50μL 

● ESn de *C. vicina* 50μL

● ES <10kDa *C. vicina* 50μL

● ES > 10kDa *C. vicina* 50μL

● ESn de *S. magellanica* 50μL

● ES <10kDa de *S. magellanica* 50μL

● ES >10kDa de *S. magellanica* 50μL

## Bacterias evaluadas

*Staphylococcus aureus*  
ATCC 25923

*Staphylococcus aureus*  
ATCC 6538

*Staphylococcus aureus*  
ATCC 43300

Estreptomicina/Penicilina:  
*Streptococcus pneumoniae* ATCC 6303  
10μg/100μL

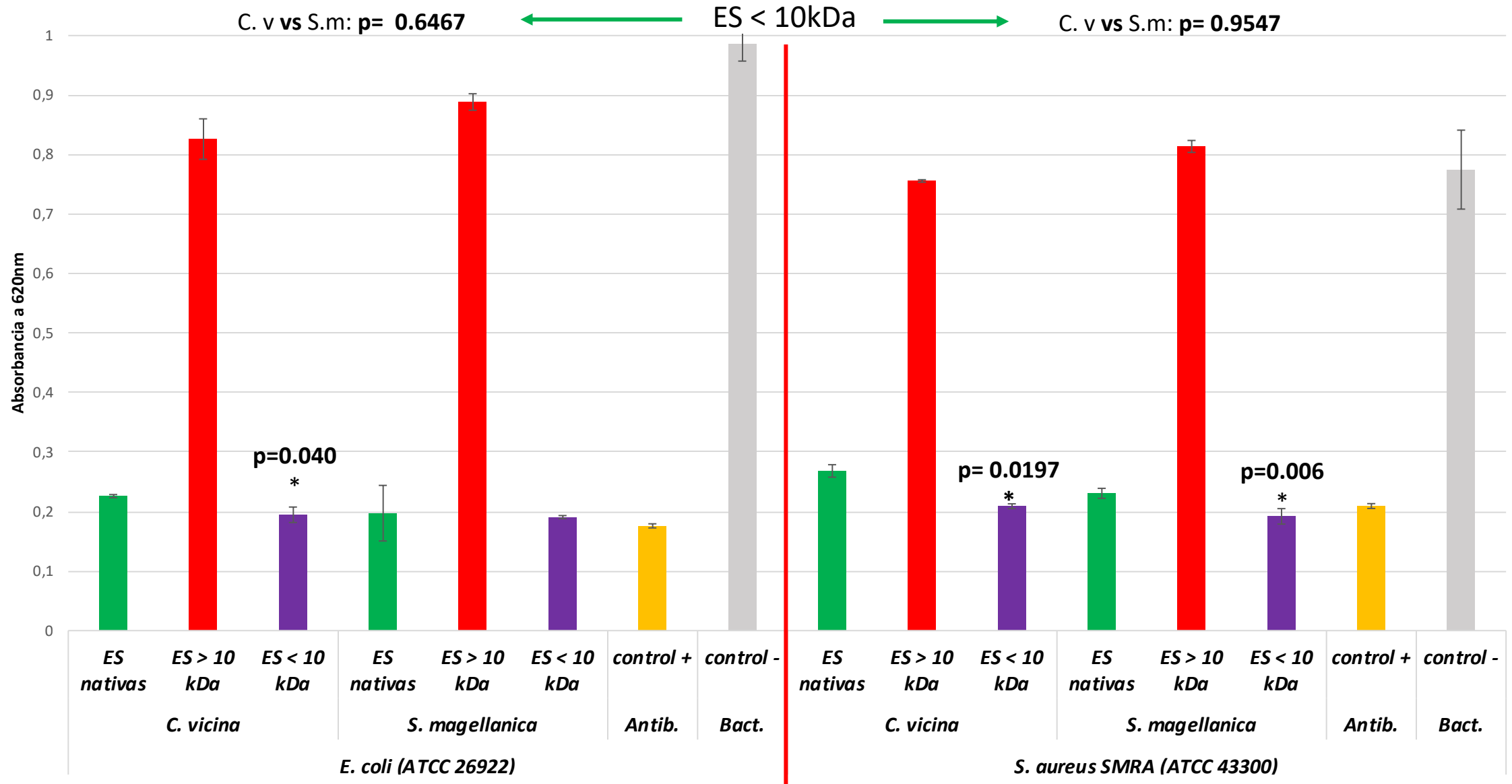
GenZanCina:  
*Escherichia coli*  
ATCC 26922  
10μg/ml

*Pseudomonas aeruginosa*  
ATCC 1744 BAA

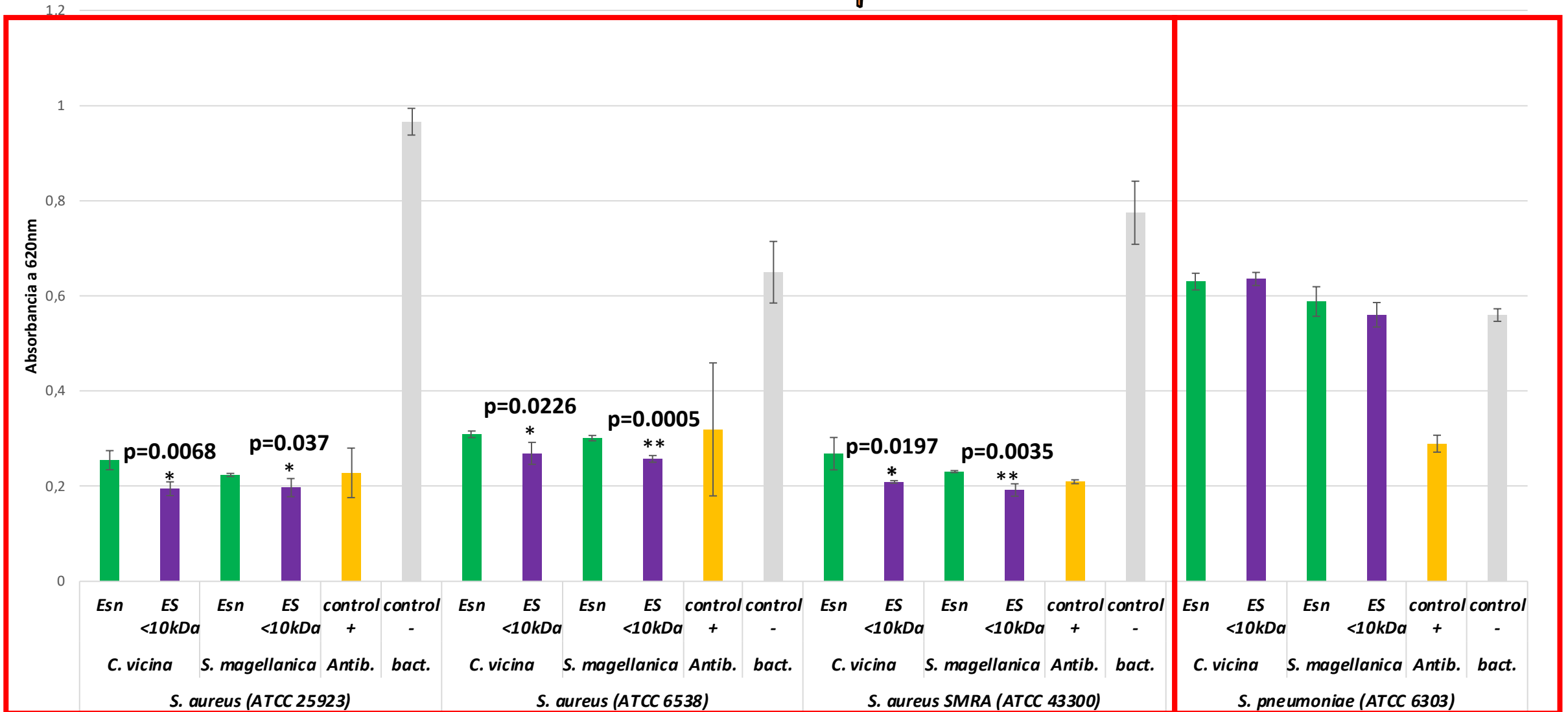
*Serratia marcescens* ATCC  
13880

*Klebsiella pneumoniae*  
ATCC 700603

# Actividad antibacterial de ES

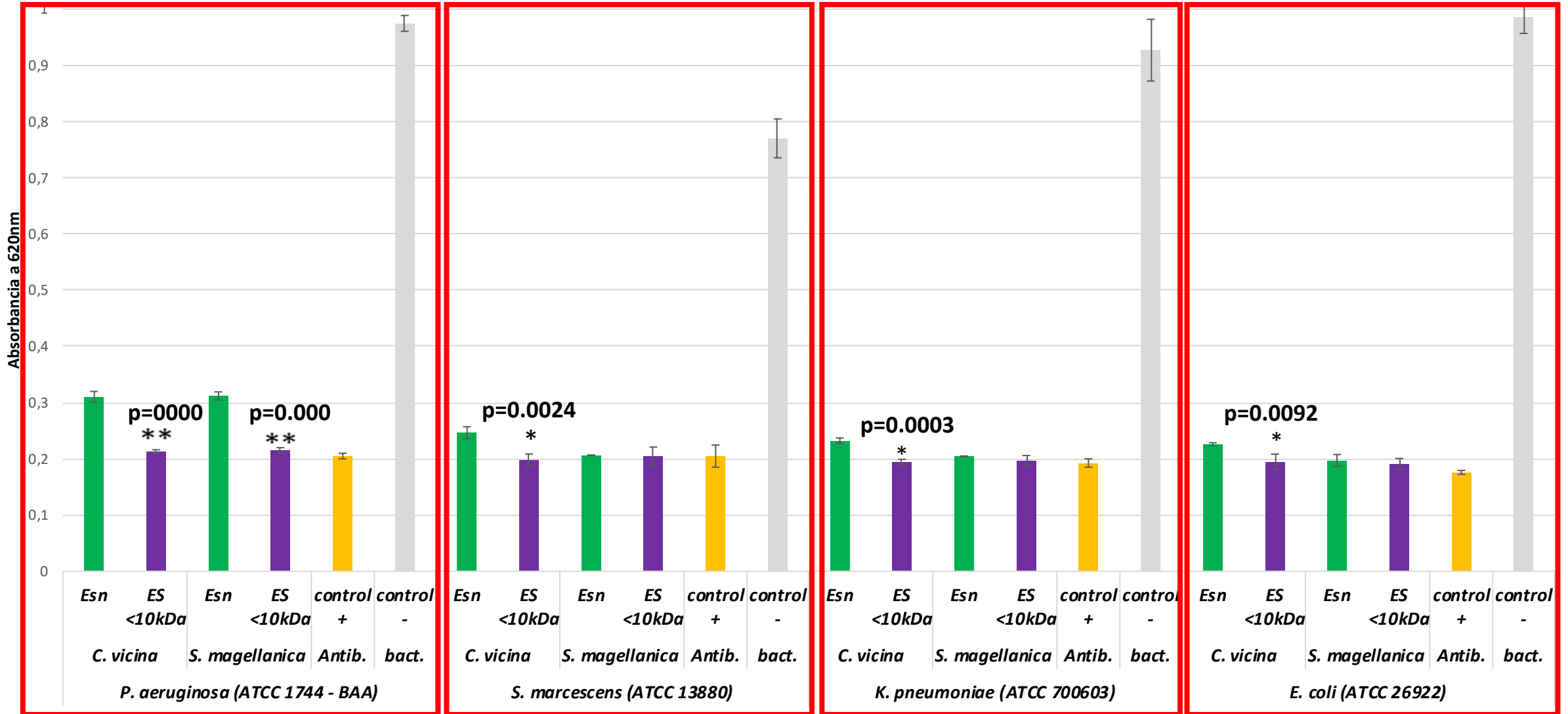


# Bacterias Gram positivas





# Bacterias Gram negativas




















































































Barnes et al. 2010


Ratcliffe et al. 2015.



Hassan et al 2016.



# Concentración mínima inhibitoria


	1	2	3	4	5	6	7	8	9	10	11
A											
B											
C											
D											
E											
F											
G											
H											

 Agua 100  $\mu$ L

 Medio LB 100  $\mu$ L

 Medio + bacteria 100  $\mu$ L 

 Concentraciones del antibiótico 50  $\mu$ L 

 Concentraciones de ES <10kDa 50  $\mu$ L

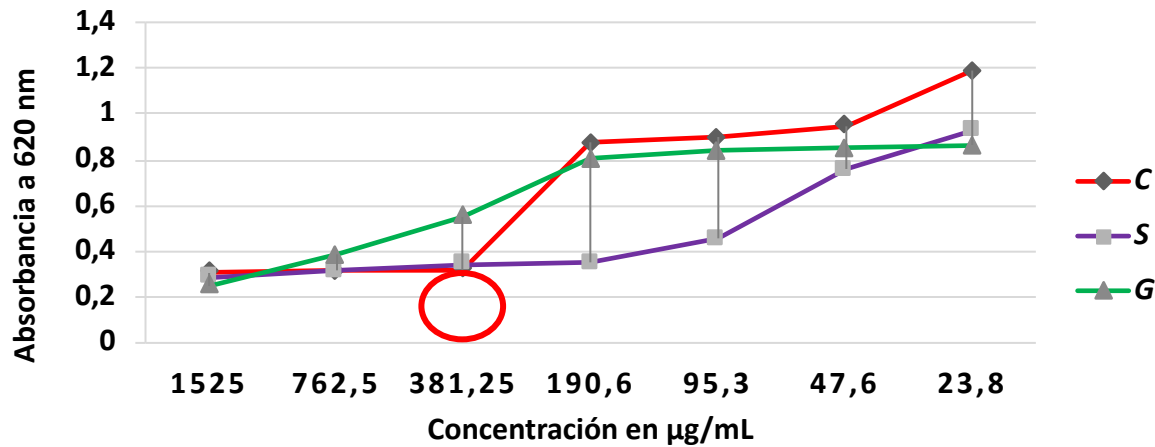
**Incubación**

18 horas  
37°C

# Bacterias Gram negativas

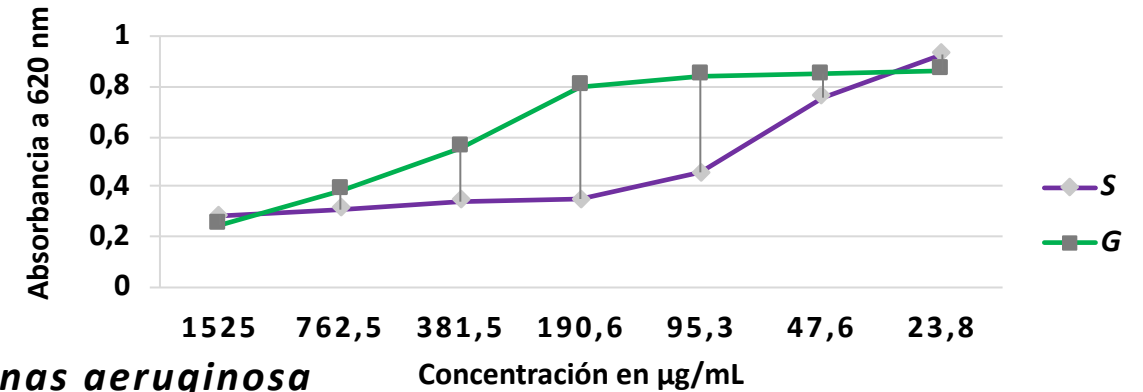
## MODELO EXPERIMENTAL

*Pseudomonas aeruginosa*  
ATCC 1744 - BAA

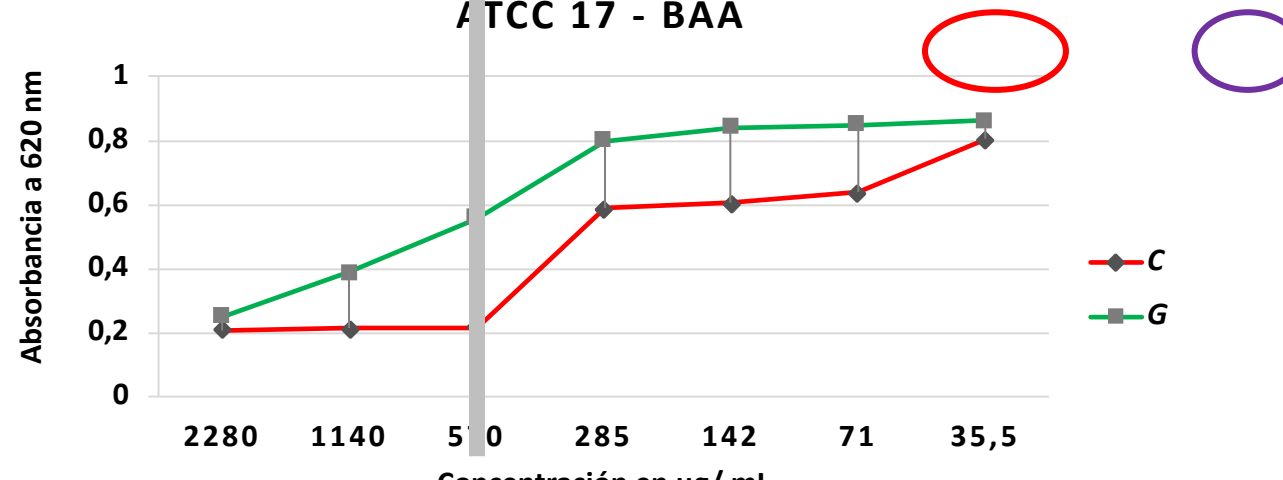


## MODELO MATEMÁTICO

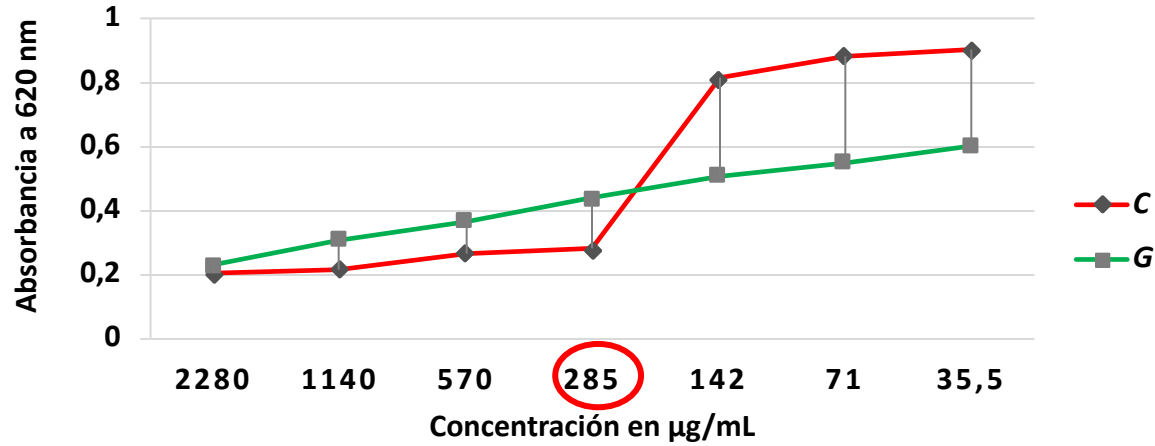
*Pseudomonas aeruginosa*  
ATCC 1744 - BAA



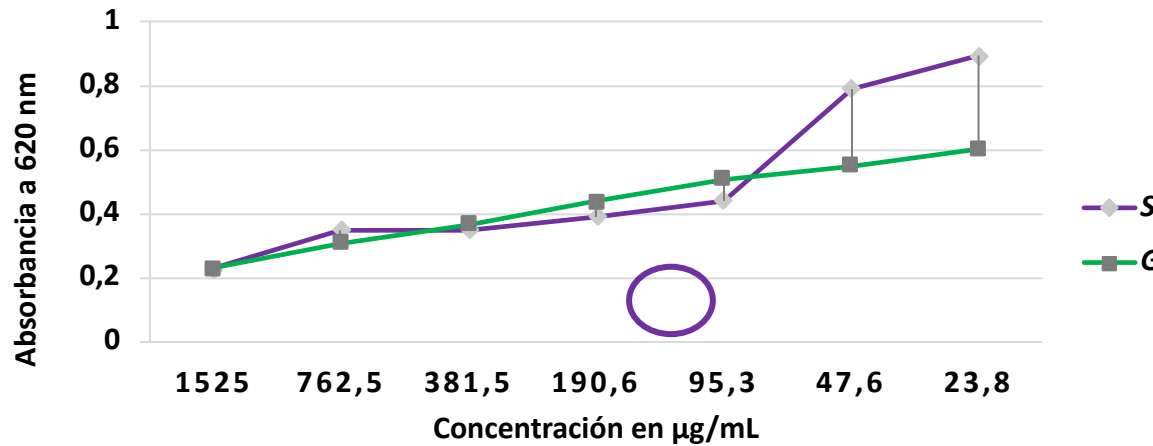
*Pseudomonas aeruginosa*  
ATCC 17 - BAA



**MODELO EXPERIMENTAL**  
*Serratia marcescens*  
ATCC 13880

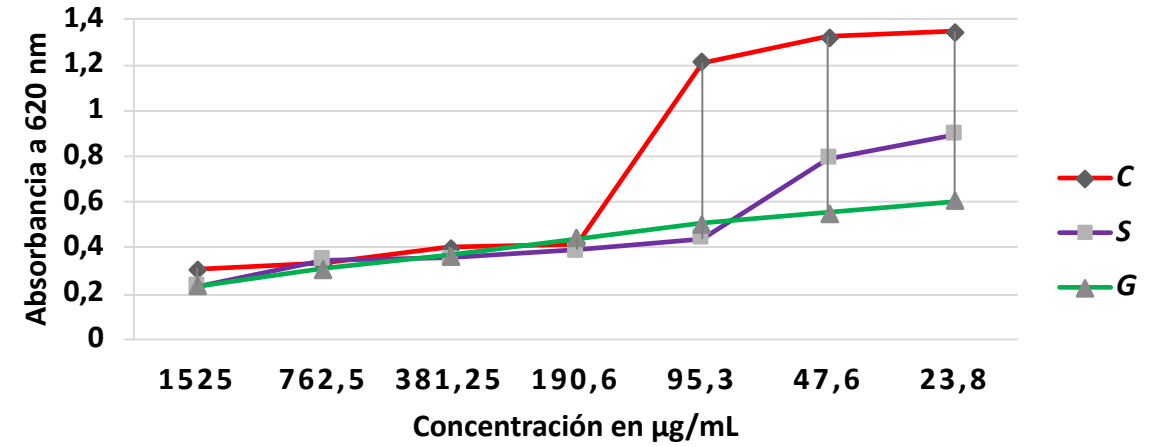


*Serratia marcescens*  
ATCC 13880



**MODELO MATEMÁTICO**

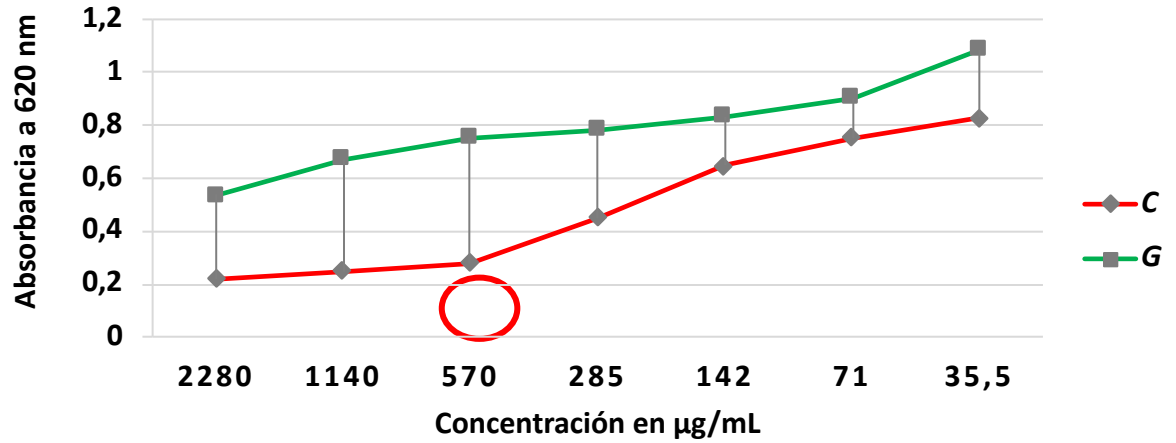
*Serratia marcescens*  
ATCC 13880



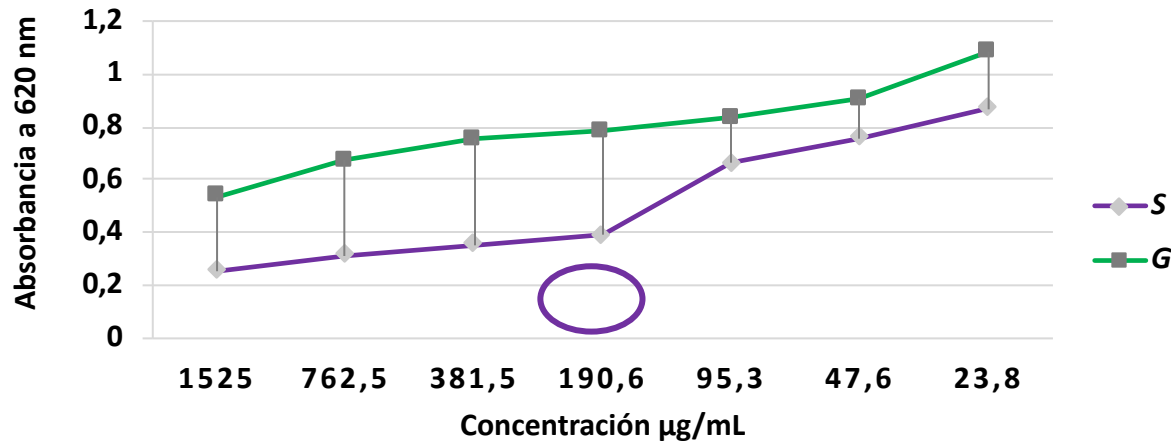
○ ○

MODELO EXPERIMENTAL

*Klebsiella pneumoniae*  
ATCC 700603

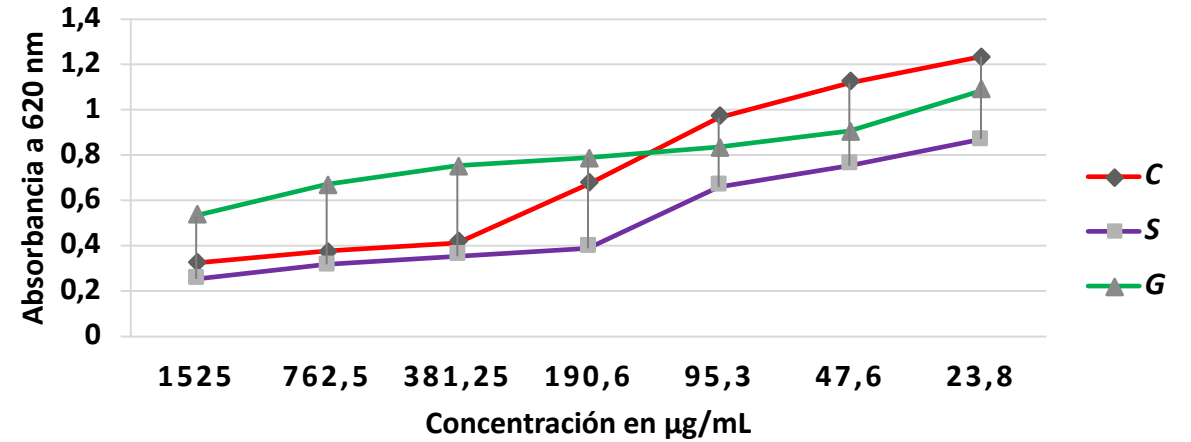


*Klebsiella pneumoniae*  
ATCC 700603



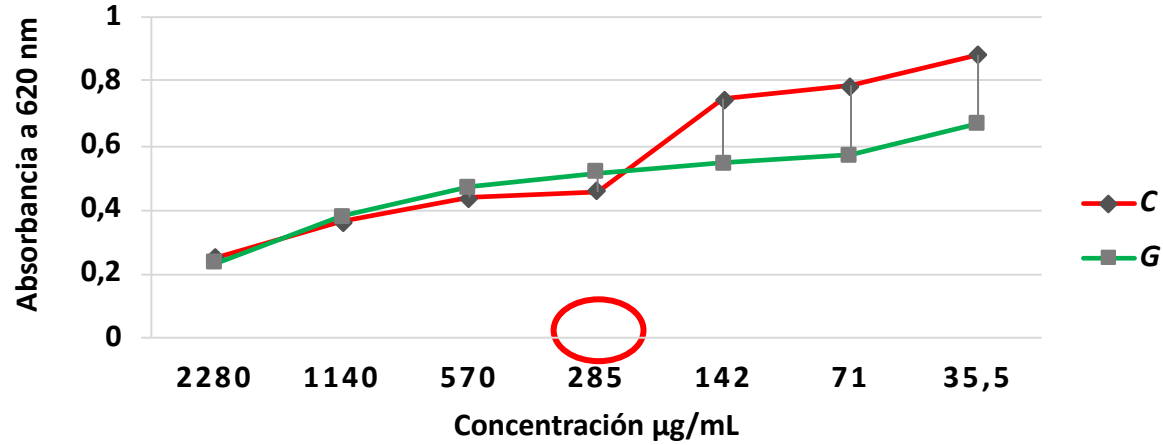
MODELO MATEMÁTICO

*Klebsiella pneumoniae*  
ATCC 700603

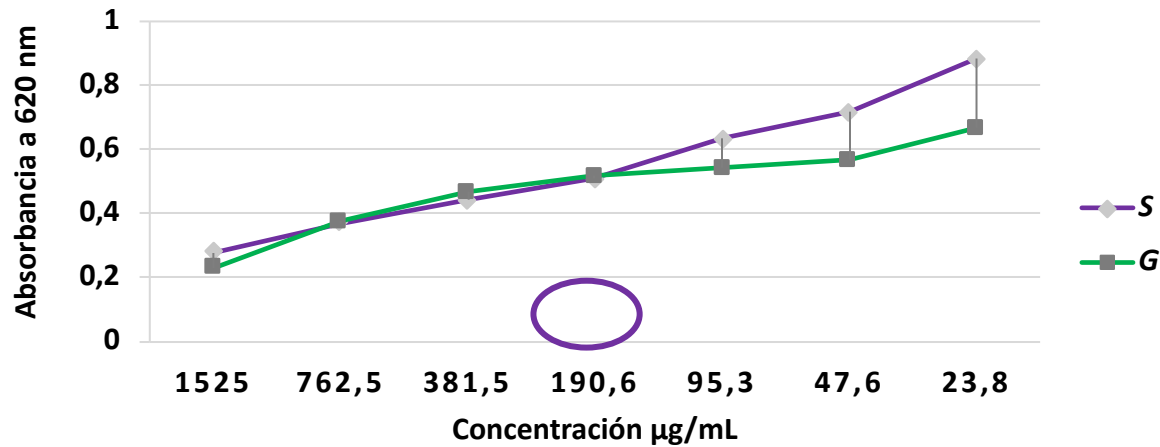


MODELO EXPERIMENTAL

*Escherichia coli*  
ATCC 26922

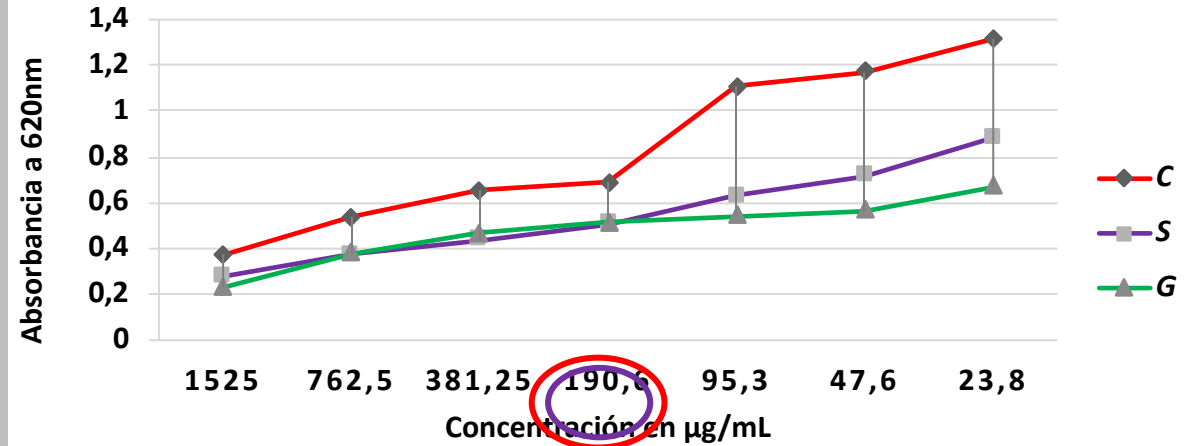


*Escherichia coli*  
ATCC 26922



MODELO MATEMÁTICO

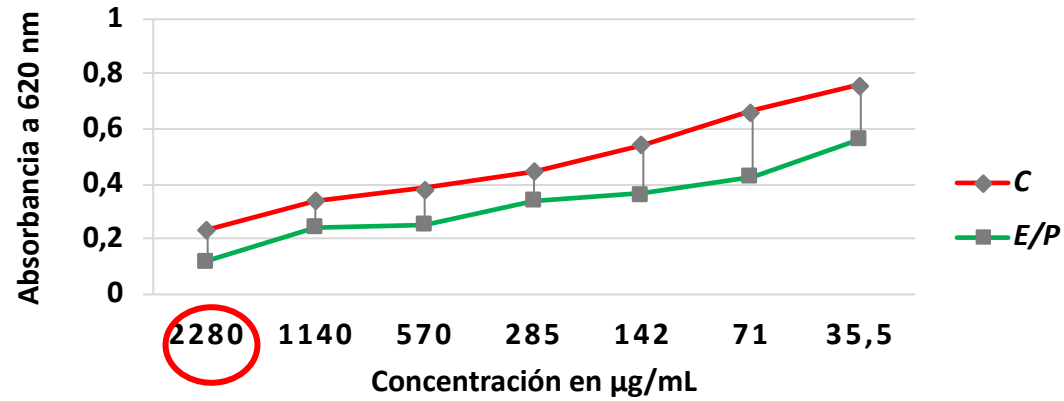
*Escherichia coli*  
ATCC 26922



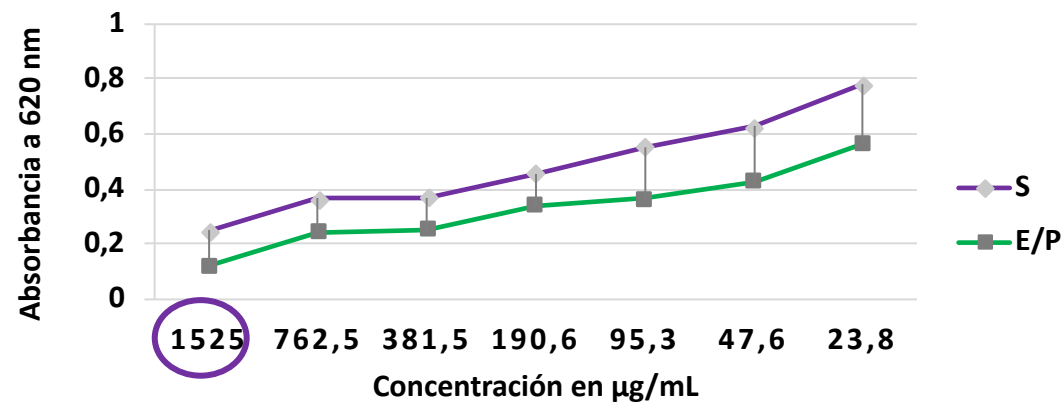
# Bacterias Gram positivas

## MODELO EXPERIMENTAL

*Staphylococcus aureus*  
ATCC 6538

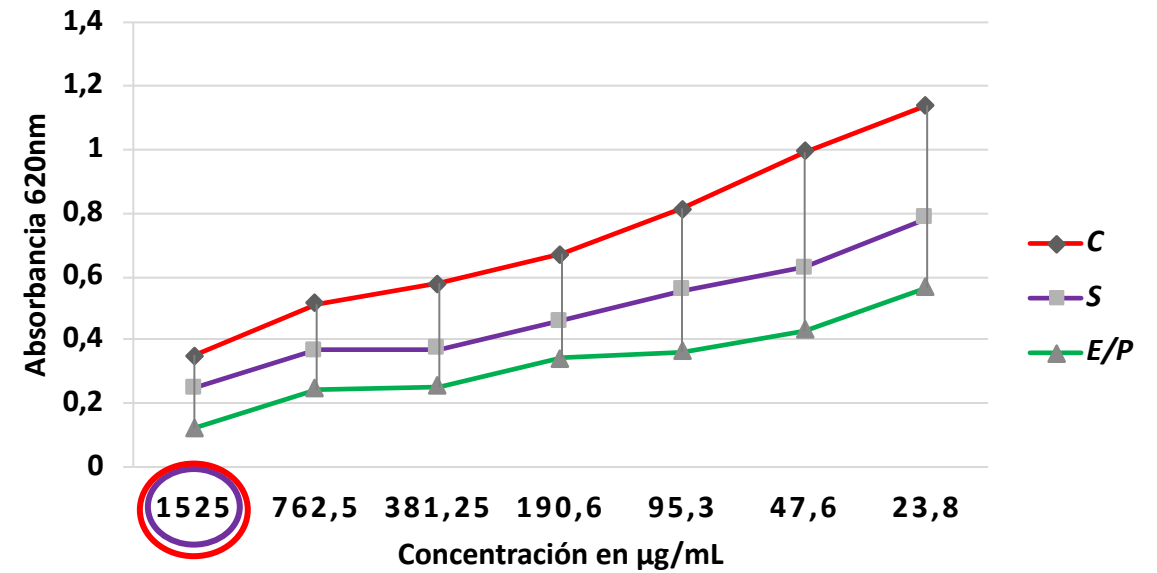


*Staphylococcus aureus*  
ATCC 6538



## MODELO MATEMÁTICO

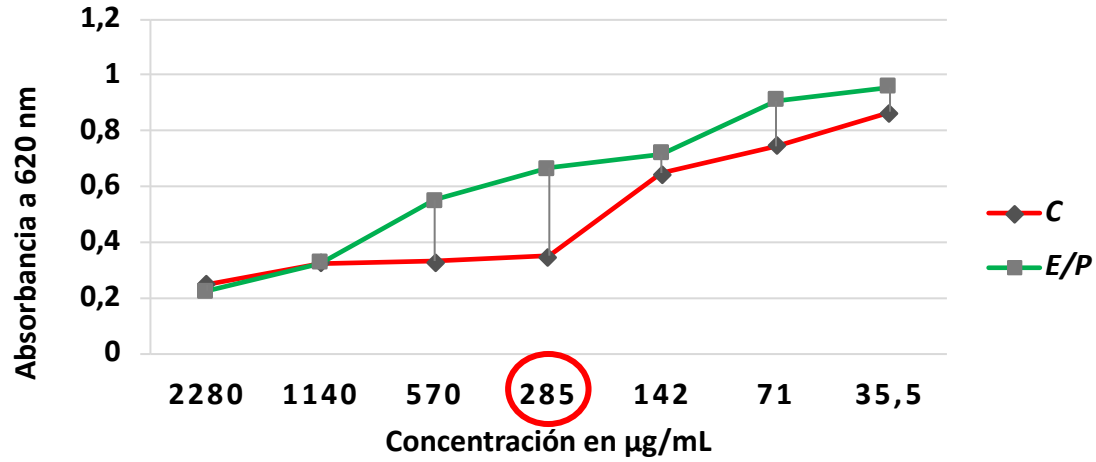
*Staphylococcus aureus*  
ATCC 6538



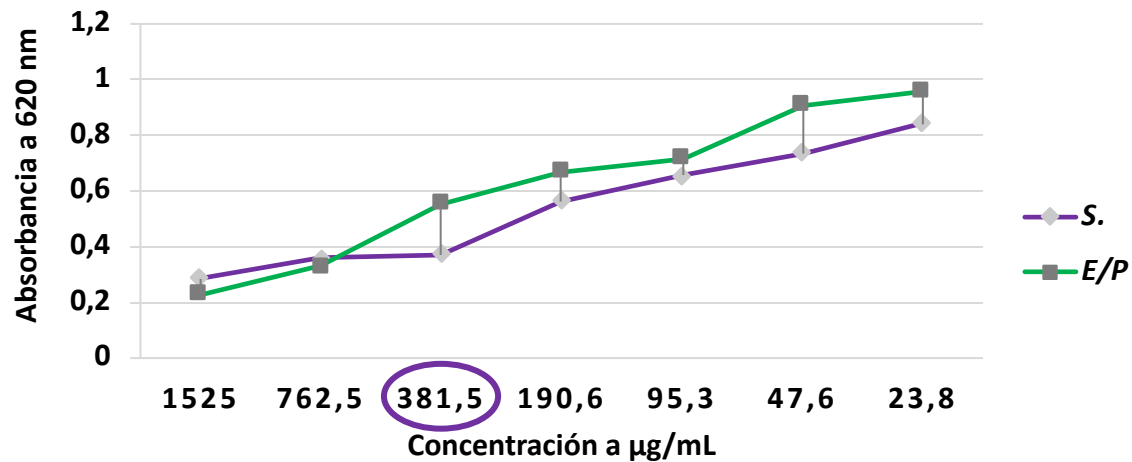


MODELO EXPERIMENTAL

*Staphylococcus aureus*  
ATCC 25923

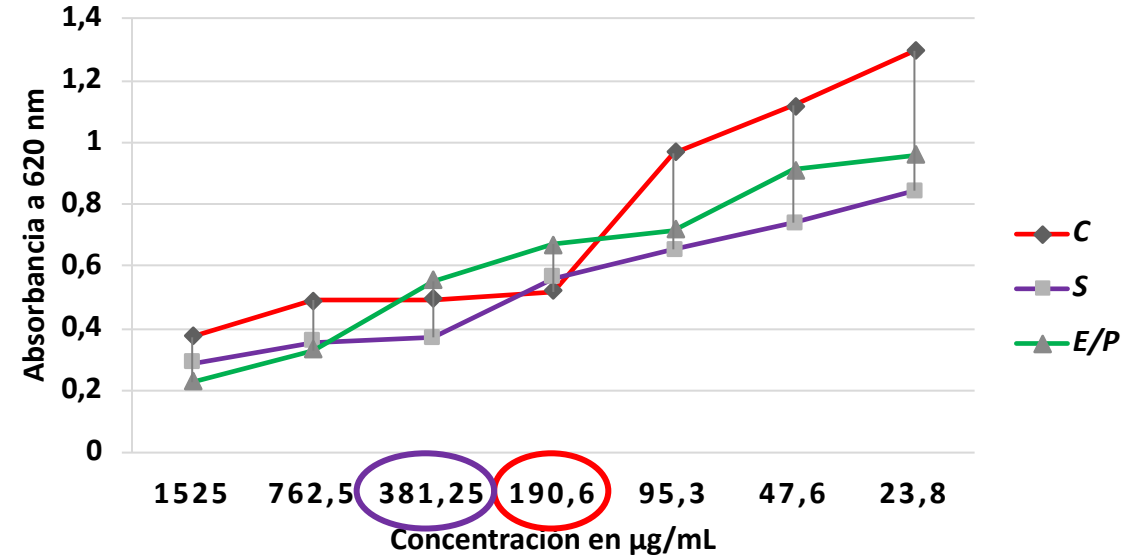


*Staphylococcus aureus*  
ATCC 25923



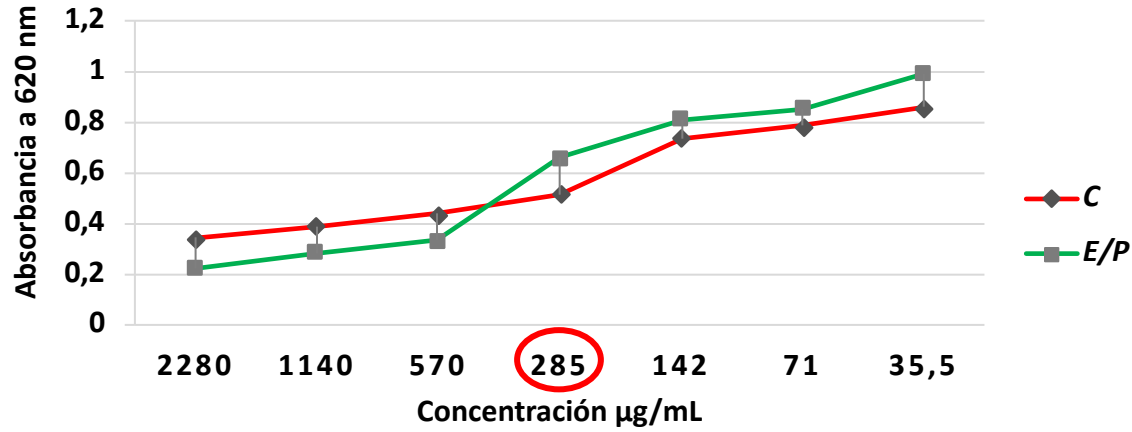
MODELO MATEMÁTICO

*Staphylococcus aureus*  
ATCC 25923

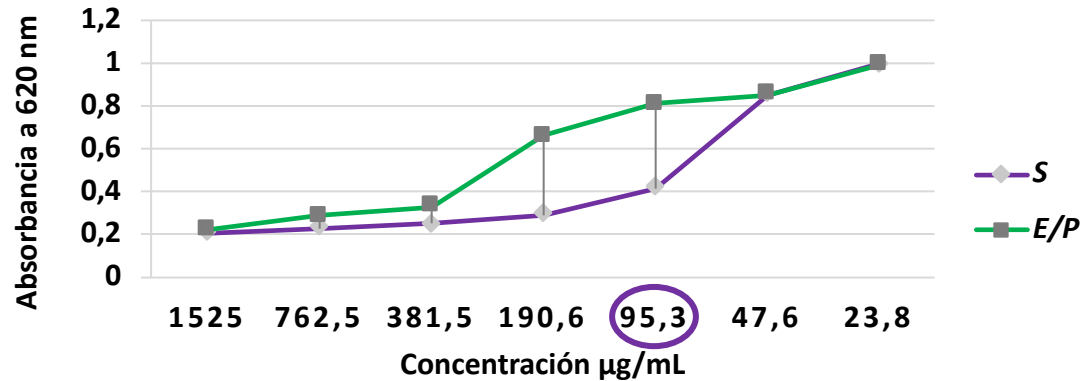


MODELO EXPERIMENTAL

*Staphylococcus aureus*  
ATCC 43300

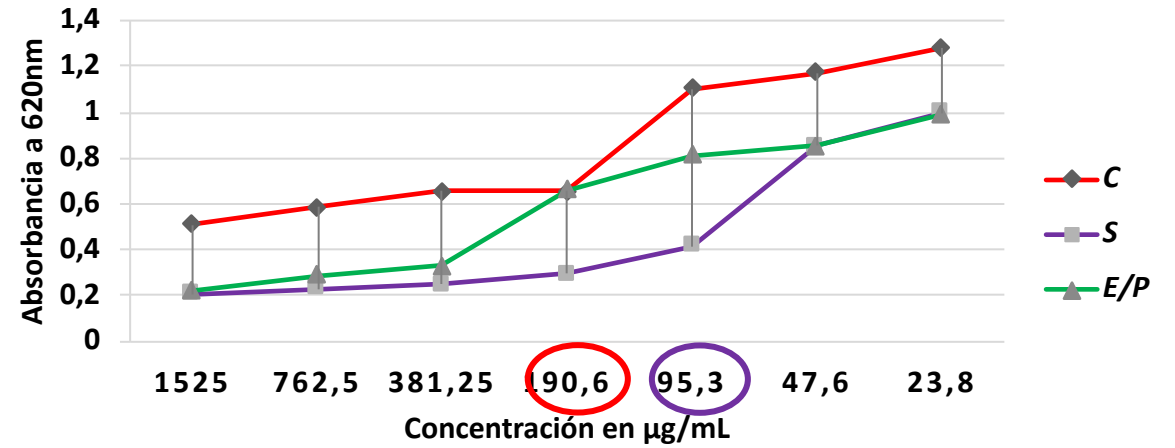


*Staphylococcus aureus*  
ATCC 43300



MODELO MATEMÁTICO

*Staphylococcus aureus*  
ATCC 43300



## CMI

- *S. magellanica*
- *C. vicina*
- Las dos especies de mosca

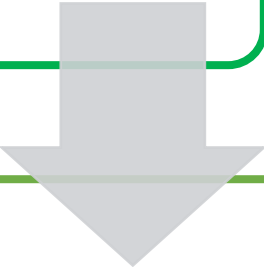
Bacteria	Modelo experimental		Modelo matemático	
	<i>C. vicina</i>	<i>S. magellanica</i>	<i>C.vicina</i>	<i>S. magellanica</i>
<i>P. aeruginosa</i>	570 µg/mL	95.3 µg/mL	381.25 µg/mL	95.3 µg/mL
<i>S. marcescens</i>	285 µg/mL	95.3 µg/mL	190.6 µg/mL	95.3 µg/mL
<i>K. pneumoniae</i>	570 µg/mL	190.6 µg/mL	381.25 µg/mL	190.6 µg/mL
<i>E. coli</i>	285 µg/mL	190.6 µg/mL	190.6 µg/mL	190.6 µg/mL
<i>S. aureus</i> ATCC 6538	2280 µg/mL	1525 µg/mL	1525 µg/mL	1525 µg/mL
<i>S. aureus</i> ATCC 25923	285 µg/mL	381.5µg/mL	190.6 µg/mL	381.25 µg/mL
<i>S. Aureus</i> ATCC 43300	285 µg/mL	95.3µg/mL	190.6 µg/mL	95.3 µg/mL

Van der plas et al. 2010  
 Cazander et al 2010  
 Arora et al 2011

# CONCLUSIONES



Las ES>10kDa de *C. vicina* y *S. magellanica* no tuvieron potencial antimicrobiano en el ensayo preliminar contra *E. coli*, ni *S. aureus*, mientras que las ES<sub>n</sub> y las ES<10kDa inhibieron significativamente el crecimiento de todas las bacterias evaluadas, excepto en *S. pneumoniae*.



La fracción <10 kDa fue diferencialmente más efectiva que las ES<sub>n</sub>; sin embargo, al comparar esta fracción entre las dos especies de moscas estudiadas se observó que no hubo diferencias significativas.

En cuanto a la CMI, las ES <10 kDa no presentaron actividad bactericida en ninguna de las diluciones; no obstante, las ES de *S. magellanica* fueron mucho más efectivas para todas las bacterias evaluadas excepto para *S. aureus* 25923



Los hallazgos sugieren que las propiedades de las ES larvales, de estas especies de moscas necrófagas podrían ser potencialmente promisorias para el aislamiento y desarrollo de agentes anti-infecciosos los cuales podrían tener aplicación terapéutica tópica en heridas de difícil cicatrización y, también, podrían constituirse hacia el futuro próximo en fármacos, entre otros usos, para el tratamiento de enfermedades infecciosas de origen respiratorio causadas por *K. pneumoniae*.

# AGRADECIMIENTOS

- Felio Bello García MSc., PhD
- Ingrid Pinillos Medina D. M. V
- Orlando Alfredo Torres García PhD
- Cindy Yormary Perez MSc
- Yuly Elien Bernal Rosas MSc





Gracias

